

Étude des paramètres des codes topologiques quantiques

Nicolas Delfosse

LIX-Qualcomm, École Polytechnique
INRIA Saclay, Équipe GRACE

Groupe de travail BAC - Telecom Paristech
23 Novembre 2012

Codes correcteurs

Un code (linéaire binaire) est un sous-espace vectoriel C de \mathbb{F}_2^n .

- ▶ La **dimension** de C est noté k .
- ▶ La **distance minimale** de C est $d = \min\{w(x) \mid x \in C\}$.
- ▶ Les paramètres de C : $[n, k, d]$.

Proposition

Il existe une famille de codes avec $k = \Theta(n)$ et $d = \Theta(n)$.

LDPC : Low Density Parity-Check

- ▶ matrice de parité de C : $H \in \mathcal{M}_{r,n}(\mathbb{F}_2)$ telle que :

$$C = \{x \in \mathbb{F}_2^n \mid Hx^t = 0\}.$$

- ▶ code LDPC : C admet une matrice de parité creuse.

Pourquoi des codes LDPC ?

- ▶ algorithme de décodage efficace et performant
- ▶ atteignent la capacité du canal

Codes LDPC réguliers

$C = \text{Ker } H$ est un code LDPC de type (ℓ, m) si :

- ▶ les colonnes de H sont de poids ℓ ,
- ▶ les lignes de H sont de poids m .

Proposition

Il existe une famille de codes de type (ℓ, m) avec $k = \Theta(n)$ et $d = \Theta(n)$ si $\ell \geq 3$.

MAIS si $\ell = 2$, on a $d = O(\log(n))$.

Codes des cycles

$C = \ker H$ de type (ℓ, m) .

Si $\ell = 2$, H est la matrice d'incidence d'un graphe G :

- ▶ sommets de $G =$ lignes de H
- ▶ arêtes de $G =$ colonnes de H
- ▶ le sommet i est incident à l'arête j ssi $H_{ij} = 1$.

C est le **code des cycles** de ce graphe $G = (V, E)$.

- ▶ les mots de C sont les cycles (homologiques) du graphe.
- ▶ $k = |E| - |V| + 1$ si le graphe est connexe.
- ▶ $d =$ **maille** = longueur du plus court cycle.

Le graphe G est régulier de degré m .

Le graphe de Petersen

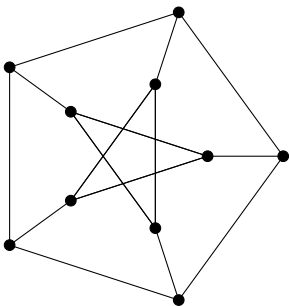
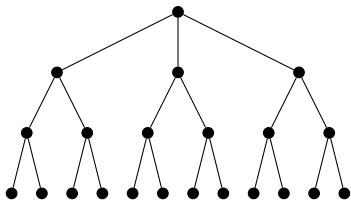


FIGURE : Le code des cycles du graphe de Petersen est un code $[15, 6, 5]$

Maille maximale d'un graphe régulier

Si G est un graphe m -régulier de maille d alors

$$|V| \geq 1 + m + m(m-1) + \dots + m(m-1)^{\lfloor (d-1)/2 \rfloor}.$$



- ▶ Asymptotiquement, on a $d \leq C \log_{m-1} |V|$.
- ▶ Déterminer C ?
 - Erdos, Sachs 1963 : $C \geq 1$ (méthode probabiliste)
 - Margulis 1982 : mois bien mais explicite
 - Lubotzky, Philips, Sarnak & Margulis 1987 : $C \geq 4/3$

La construction de Margulis

$S = \{A, A^{-1}, B, B^{-1}\} \subset SL_2(\mathbb{Z})$ engendre un groupe libre avec :

$$A = \begin{pmatrix} 1 & 2 \\ 0 & 1 \end{pmatrix} \quad B = \begin{pmatrix} 1 & 0 \\ 2 & 1 \end{pmatrix}$$

Son graphe de Cayley est un arbre 4-régulier :

- ▶ Sommets = éléments du groupe
- ▶ Arêtes = $\{x, sx\}$ pour $s \in S$

Réduire ce groupe modulo un grand nombre premier p :

- ▶ groupe fini \rightarrow graphe fini
- ▶ pas de relation courte \rightarrow grande maille

$$\text{Code quantique} = \begin{cases} \mathbf{H}_X \in M_{r_X, n}(\mathbb{F}_2) \\ \mathbf{H}_Z \in M_{r_Z, n}(\mathbb{F}_2) \\ \text{orthogonalité entre les lignes de } \mathbf{H}_X \text{ et } \mathbf{H}_Z \end{cases}$$

$$C_X = \text{Ker } \mathbf{H}_X \text{ et } C_Z = \text{Ker } \mathbf{H}_Z$$

- ▶ Les mots quantiques : C_Z modulo C_X^\perp et C_X modulo C_Z^\perp
- ▶ La dimension : $k = n - \text{rg } \mathbf{H}_X - \text{rg } \mathbf{H}_Z$
- ▶ La distance : $d = \inf\{w(x) \mid x \in C_X \setminus C_Z^\perp \cup C_Z \setminus C_X^\perp\}$

Proposition

Il existe une famille de codes CSS avec $k = \Theta(n)$ et $d = \Theta(n)$.

Constructions des codes LDPC quantiques

Code LDPC quantique = code quantique avec \mathbf{H}_X et \mathbf{H}_Z creuses

Deux grandes familles de LDPC quantiques :

- ▶ basés sur des LDPC classiques : Rendement $R = k/n$ élevé mais d trop faible
- ▶ codes topologiques basés sur des pavages : meilleure distance, applications au calcul quantique tolerant aux fautes, hautement dégénérés

Le code Torique de Kitaev

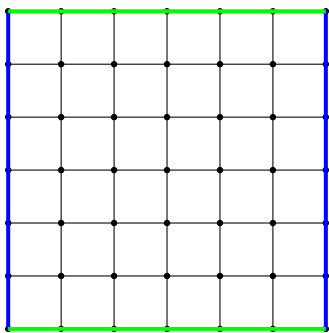
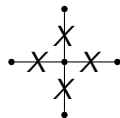


FIGURE : Un pavage carré du tore

- ▶ C_X = les cycles
- ▶ C_Z^\perp = sommes de faces
- ▶ mots quantiques = les cycles modulo les faces (= classes d'homologie)

Lignes de H_X =



Lignes de H_Z =



FIGURE : Générateurs du code de Kitaev

Le code Torique de Kitaev

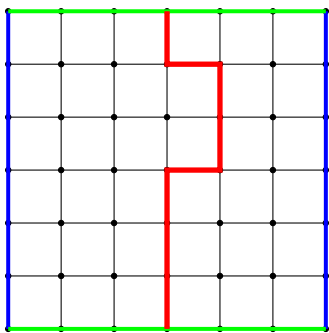
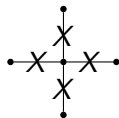


FIGURE : Un pavage carré du tore

- ▶ C_X = les cycles
- ▶ C_Z^\perp = sommes de faces
- ▶ mots quantiques = les cycles modulo les faces
(= classes d'homologie)

Lignes de H_X =



Lignes de H_Z =



FIGURE : Générateurs du code de Kitaev

Le code Torique de Kitaev

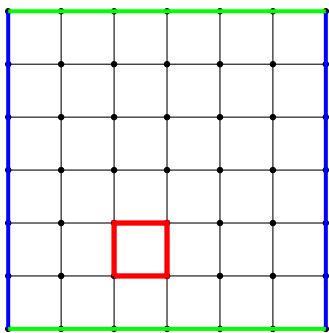
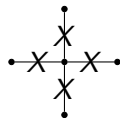


FIGURE : Un pavage carré du tore

- ▶ C_X = les cycles
- ▶ C_Z^\perp = sommes de faces
- ▶ mots quantiques = les cycles modulo les faces (= classes d'homologie)

Lignes de H_X =



Lignes de H_Z =



FIGURE : Générateurs du code de Kitaev

Le code Torique de Kitaev

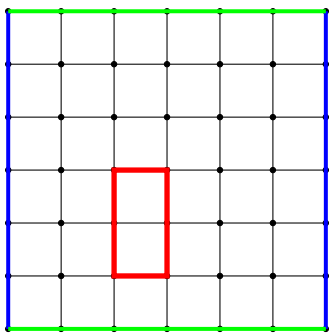
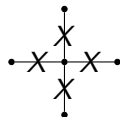


FIGURE : Un pavage carré du tore

- ▶ C_X = les cycles
- ▶ C_Z^\perp = sommes de faces
- ▶ mots quantiques = les cycles modulo les faces
(= classes d'homologie)

Lignes de H_X =



Lignes de H_Z =



FIGURE : Générateurs du code de Kitaev

Le code Torique de Kitaev

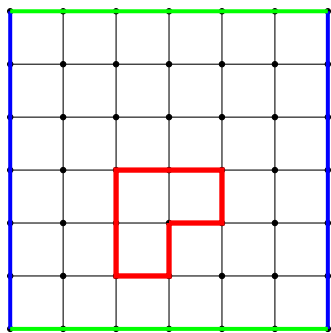
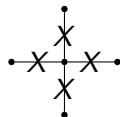


FIGURE : Un pavage carré du tore

- ▶ C_X = les cycles
- ▶ C_Z^\perp = sommes de faces
- ▶ mots quantiques = les cycles modulo les faces
(= classes d'homologie)

Lignes de H_X =



Lignes de H_Z =



FIGURE : Générateurs du code de Kitaev

Le code Torique de Kitaev

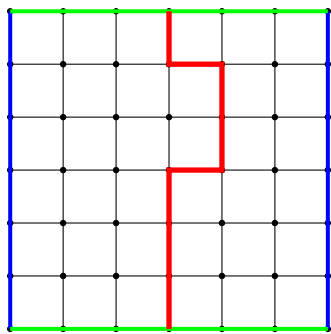
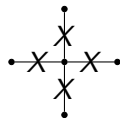


FIGURE : Un pavage carré du tore

- ▶ C_X = les cycles
- ▶ C_Z^\perp = sommes de faces
- ▶ mots quantiques = les cycles modulo les faces
(= classes d'homologie)

Lignes de H_X =



Lignes de H_Z =



FIGURE : Générateurs du code de Kitaev

Le code Torique de Kitaev

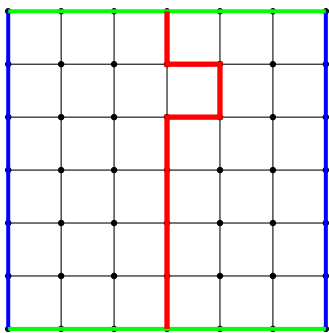
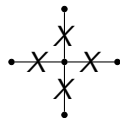


FIGURE : Un pavage carré du tore

- ▶ C_X = les cycles
- ▶ C_Z^\perp = sommes de faces
- ▶ mots quantiques = les cycles modulo les faces (= classes d'homologie)

Lignes de H_X =



Lignes de H_Z =



FIGURE : Générateurs du code de Kitaev

Le code Torique de Kitaev

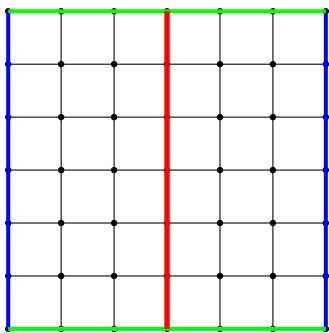
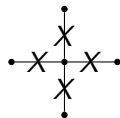


FIGURE : Un pavage carré du tore

- ▶ C_X = les cycles
- ▶ C_Z^\perp = sommes de faces
- ▶ mots quantiques = les cycles modulo les faces (= classes d'homologie)

Lignes de H_X =



Lignes de H_Z =



FIGURE : Générateurs du code de Kitaev

Le code Torique de Kitaev

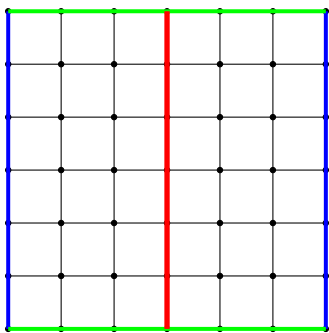
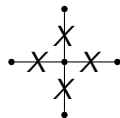


FIGURE : Un pavage carré du tore

- ▶ C_X = les cycles
- ▶ C_Z^\perp = sommes de faces
- ▶ mots quantiques = les cycles modulo les faces
(= classes d'homologie)

Lignes de \mathbf{H}_X =



Lignes de \mathbf{H}_Z =



FIGURE : Générateurs du code de Kitaev

Dans le pavage $m \times m$:

- ▶ n = nb d'arêtes = $2m^2$
- ▶ d = longueur min d'un cycle non somme de faces de G ou $G^* = m$
- ▶ matrices de type $(2, 4)$

Distance minimale des codes topologiques

D'où vient ce $d = O(n^{1/2})$?

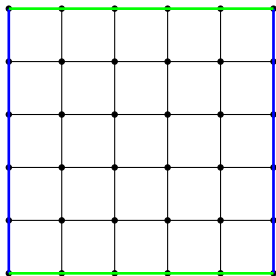


FIGURE : Une boule du pavage carré du tore

Distance minimale des codes topologiques

D'où vient ce $d = O(n^{1/2})$?

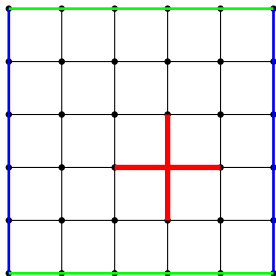


FIGURE : Une boule du pavage carré du tore

Distance minimale des codes topologiques

D'où vient ce $d = O(n^{1/2})$?

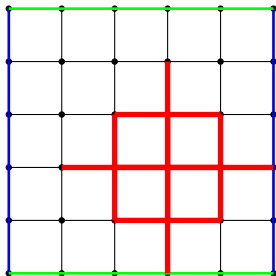


FIGURE : Une boule du pavage carré du tore

Distance minimale des codes topologiques

D'où vient ce $d = O(n^{1/2})$?

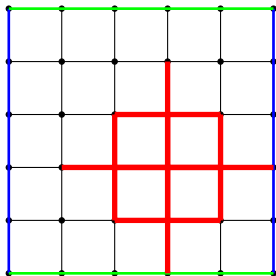


FIGURE : Une boule du pavage carré du tore

pas d'identification jusqu'au rayon $(m - 1)/2$ dans le pavage $m \times m$

Distance minimale des codes topologiques

D'où vient ce $d = O(n^{1/2})$?

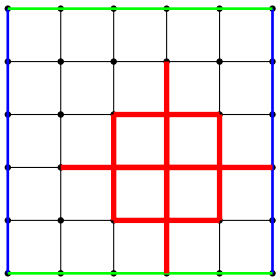


FIGURE : Une boule du pavage carré du tore

- pas d'identification jusqu'au rayon $(m - 1)/2$ dans le pavage $m \times m$
- \Rightarrow cette boule est plane
- \Rightarrow tt cycle inclus dans une telle boule est somme de faces
- \Rightarrow ne compte pas dans d .

La borne de Bravyi-Poulin-Terhal

De nombreuses généralisations du code torique de Kitaev :
Codes torique à bords, codes torique à trous, sur un pavage hexagonal du tore ou sur un pavage carré-octogonal du tore, ...

Tous ces codes sont limités par la borne :

Théorème (Bravyi, Poulin, Terhal - 2009)

Les paramètres $[[n, k, d]]$ d'un code CSS local défini sur un pavage carré du tore vérifient :

$$kd^2 \leq cn.$$

Conséquence :

- ▶ $R = k/n$ constant + d croissante est impossible
- ▶ $d = O(\sqrt{n})$

Dimension des codes de surface

Dimension du code torique ?

mots quantiques = les cycles modulo les faces.

→ Dans le tore ce quotient est de dimension 2.

→ $k = 2$.

Dimension d'un code topologique ?

surface (orientable) = recollement de g tores

= surface avec g trous

→ $k = 2g$

→ on veut un genre g élevé.

Codes de surface de rendement constant

Code de surfaces : (Bombin, Martin-Delgado, '06)

G un pavage de surface

- ▶ \mathbf{H}_X = matrice d'incidence de G
- ▶ \mathbf{H}_Z = matrice des faces de G

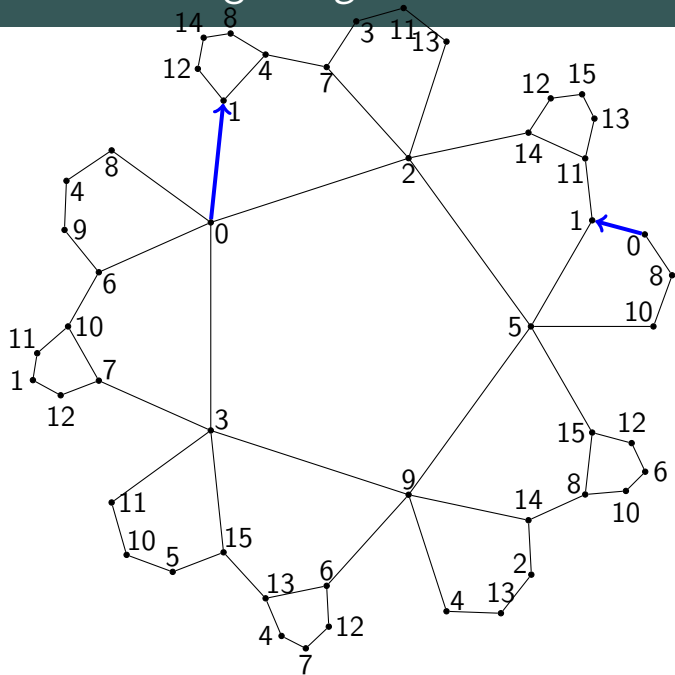
⇒ mots quantiques = les cycles modulo les faces

genre g élevé + les petites boules sont planaires

→ $R = k/n$ constant et $d = O(\log(n))$

- ▶ avec des surfaces hyperboliques (Freedman, Luo, Meyer, '01)
- ▶ avec des graphes de Cayley (Zémor, '09)

Une surface de genre $g = 5$



Un code quantique $[[40, 10, 4]]$

$$\mathbf{H}_X = \begin{pmatrix} 0 & 1 & 2 & 3 & 8 \\ 1 & 4 & 5 & 11 & 20 \\ 2 & 6 & 7 & 14 & 25 \\ 0 & 9 & 10 & 18 & 28 \\ 5 & 12 & 13 & 22 & 32 \\ 4 & 7 & 15 & 21 & 31 \\ 3 & 16 & 17 & 27 & 36 \\ 6 & 10 & 13 & 19 & 23 \\ 8 & 12 & 24 & 33 & 38 \\ 9 & 15 & 17 & 22 & 26 \\ 16 & 19 & 21 & 24 & 29 \\ 11 & 28 & 29 & 30 & 35 \\ 20 & 23 & 27 & 34 & 39 \\ 14 & 32 & 35 & 36 & 37 \\ 25 & 26 & 30 & 33 & 34 \\ 18 & 31 & 37 & 38 & 39 \end{pmatrix}$$

$$\mathbf{H}_Z = \begin{pmatrix} 0 & 2 & 7 & 9 & 15 \\ 1 & 2 & 5 & 6 & 13 \\ 0 & 3 & 10 & 16 & 19 \\ 1 & 4 & 8 & 21 & 24 \\ 3 & 8 & 12 & 17 & 22 \\ 4 & 7 & 11 & 25 & 30 \\ 5 & 12 & 20 & 33 & 34 \\ 6 & 10 & 14 & 28 & 35 \\ 9 & 17 & 18 & 36 & 37 \\ 11 & 19 & 20 & 23 & 29 \\ 13 & 23 & 27 & 32 & 36 \\ 14 & 22 & 25 & 26 & 32 \\ 15 & 26 & 31 & 33 & 38 \\ 16 & 24 & 27 & 38 & 39 \\ 18 & 21 & 28 & 29 & 31 \\ 30 & 34 & 35 & 37 & 39 \end{pmatrix}$$

Codes hyperboliques

Code de surfaces : (Bombin, Martin-Delgado '06)

G un pavage de surface

- ▶ \mathbf{H}_X = matrice d'incidence de G
- ▶ \mathbf{H}_Z = matrice des faces de G

\Rightarrow mots quantiques = les cycles modulo les faces

$T = \langle a, b \rangle$ un groupe fini avec $a^2 = b^m = (ab)^l = 1$ et pas d'autre relation de longueur $\leq r$

surface = graphe de Cayley de T et $S = \{a, b, b^{-1}\}$

\Rightarrow Codes hyperboliques (Zémor '09)

Codes hyperboliques

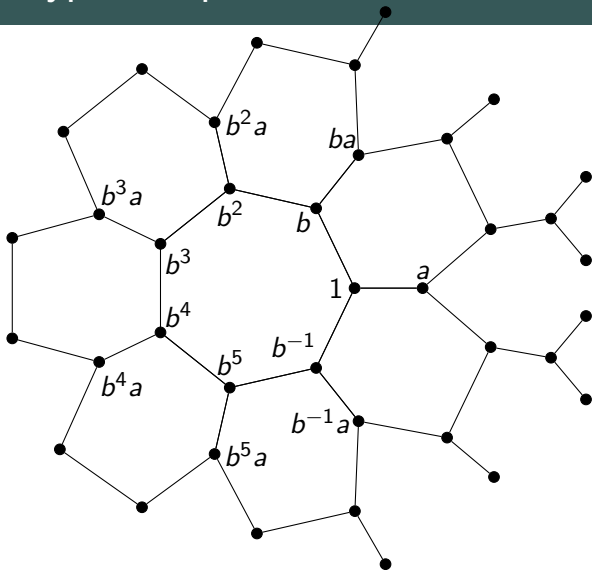


FIGURE : Le graphe de Cayley avec $a^2 = b^7 = (ab)^3 = 1$

Codes hyperboliques

avec les groupes de siran $\Rightarrow R$ constant et d croissante au moins en $\log(n)$:

- ▶ pour avoir k grand on choisit de grandes faces

c'est à dire l et m grand

$$\Rightarrow R = k/n \rightarrow \frac{2}{3} \left(\frac{1}{2} - \frac{1}{l} - \frac{1}{m} \right)$$

- ▶ pas de relation autre que les faces de longueur $\leq r$
localement planaire dans les boule de rayon $(r-1)/2$
 $\Rightarrow d \geq (r-1)/2$

Systole d'une variété Riemannienne

\mathcal{V} une surface fermée, connexe, de genre $g \geq 2$, équipée d'une métrique riemannienne.

Définition

$\text{syst } H_1(\mathcal{V}) := \text{plus court cycle qui n'est pas un bord.}$

Théorème (Gromov - 1992)

$$(\text{syst } H_1(\mathcal{V}))^2 \leq C \frac{(\log g)^2}{g} \text{Aire}(\mathcal{V}).$$

Pour l'appliquer aux codes de surface, on construit une métrique riemannienne telle que :

- ▶ Aire proportionnelle au nombre de faces
- ▶ syst correspond à la distance d
- ▶ g proportionnel à la dimension k

Systole d'une variété Riemannienne

Avec des pavages G dont les faces sont de longueur inférieure à m et dont les sommets sont de degré inférieur à m :

Théorème (D. - 2012)

$$kd^2 \leq C(\log k)^2 n,$$

Cor : si $R = k/n$ constant alors $d \leq C' \log(n)$.

Systole d'une variété Riemannienne

Comment dépasser ces bornes avec des LDPC quantiques ?

- ▶ Freedman, Luo, Meyer (2001), $k = 1$ et $d = O(n^{1/2} \log(n)^{1/2})$
- ▶ Tillich, Zémor (2009) R constant, $d = n^{1/2}$
- ▶ Couvreur, Delfosse, Zémor (2011), $k = O(\sqrt{n})$, $d = O(\sqrt{n})$
(avec des lignes de poids $O(\log(n))$)

Ouvert : Peut-on obtenir $d = O(n^\alpha)$ où $\alpha > 1/2$ avec des LDPC ?

Le code couleur hexagonal

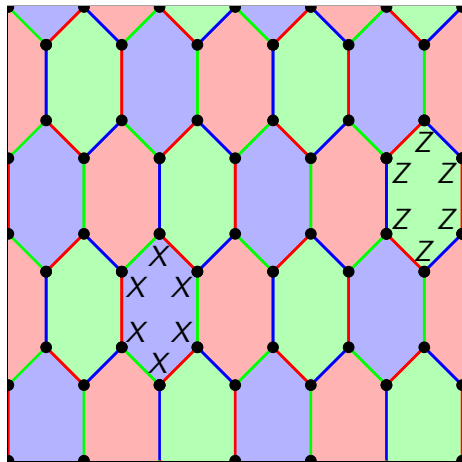


FIGURE : Un code couleur torique

!!! on travaille sur les sommets !!!

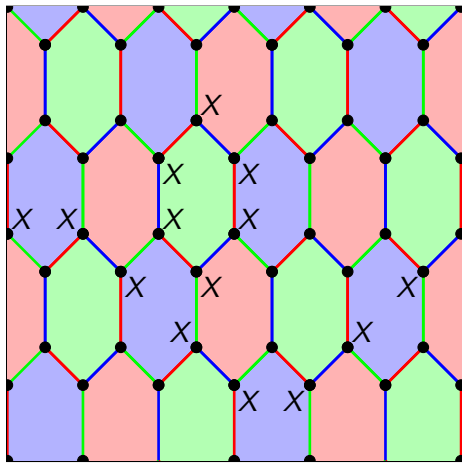
Code couleur :

$\mathbf{H}_X = \mathbf{H}_Z =$ matrice des faces (en fonction des sommets)

→ étudier :

- ▶ le code auto-orthogonal
 $C = \text{Ker } \mathbf{H}_X = \text{Ker } \mathbf{H}_Z$
- ▶ les mots quantiques
 $= C \text{ modulo } C^\perp$

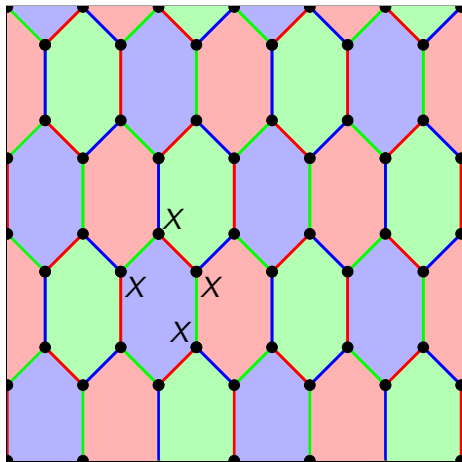
Représentation graphique du code \mathcal{C}



1. Soit $x \in \mathcal{C}$
2. On se restreint à une face bleue
3. On couple les sommets de x
4. On prolonge ces arêtes
5. On obtient 2 cycles

FIGURE : Représentation cyclique d'un mot de \mathcal{C}

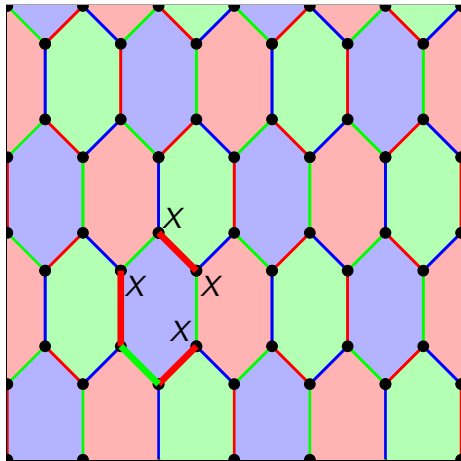
Représentation graphique du code C



1. Soit $x \in C$
2. On se restreint à une face bleue
3. On couple les sommets de x
4. On prolonge ces arêtes
5. On obtient 2 cycles

FIGURE : Représentation cyclique d'un mot de C

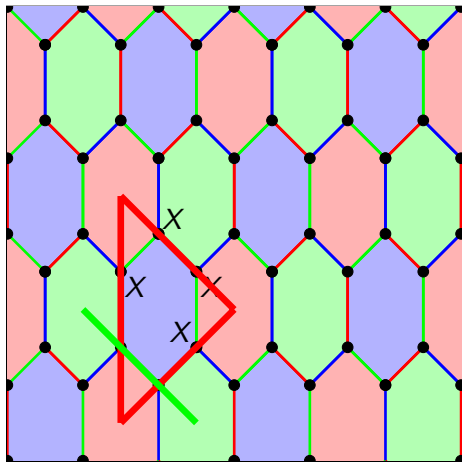
Représentation graphique du code C



1. Soit $x \in C$
2. On se restreint à une face bleue
3. On couple les sommets de x
4. On prolonge ces arêtes
5. On obtient 2 cycles

FIGURE : Représentation cyclique d'un mot de C

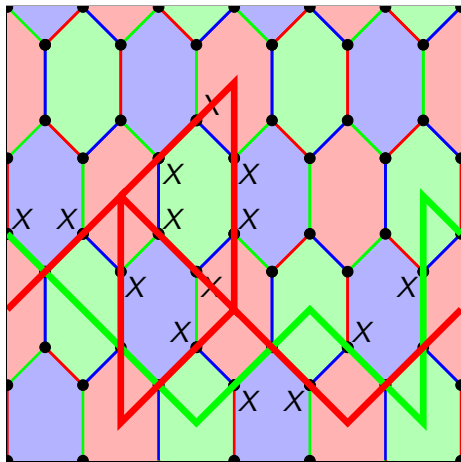
Représentation graphique du code \mathcal{C}



1. Soit $x \in \mathcal{C}$
2. On se restreint à une face bleue
3. On couple les sommets de x
4. On prolonge ces arêtes
5. On obtient 2 cycles

FIGURE : Représentation cyclique d'un mot de \mathcal{C}

Représentation graphique du code \mathcal{C}



1. Soit $x \in \mathcal{C}$
2. On se restreint à une face bleue
3. On couple les sommets de x
4. On prolonge ces arêtes
5. On obtient 2 cycles

FIGURE : Représentation cyclique d'un mot de \mathcal{C}

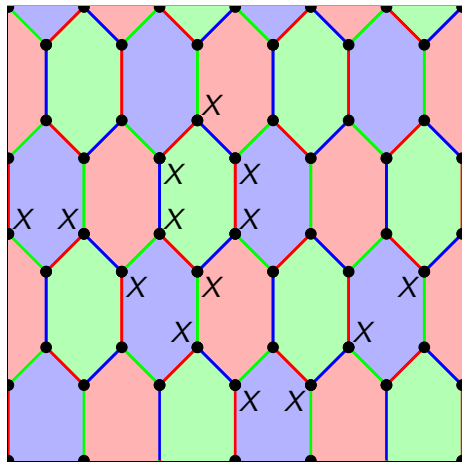
Représentation graphique du code C

$C = \text{Ker } \mathbf{H}_X$ correspond à des paires de cycles.

mots quantiques = C modulo C^\perp

Comment décrire C^\perp ? les mots quantiques ?

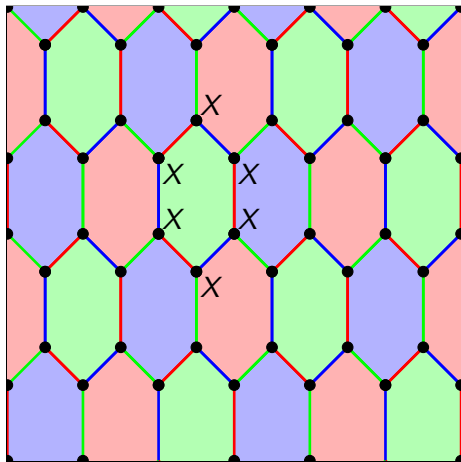
Représentation graphique des mots quantiques



mots quantiques
 $= C \bmod C^\perp$

FIGURE : Représentation cyclique d'un mot de C

Représentation graphique des mots quantiques

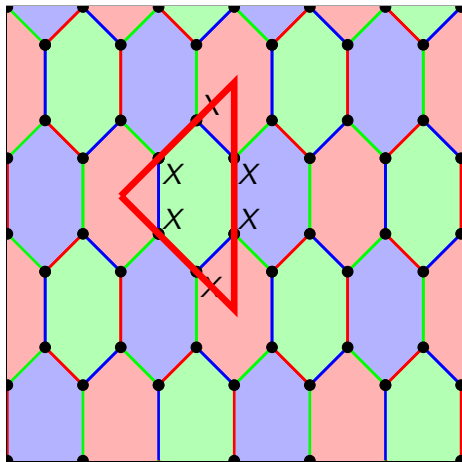


mots quantiques
 $= C \bmod C^\perp$

On voit une ligne de \mathbf{H}_X

FIGURE : Représentation cyclique d'un mot de C

Représentation graphique des mots quantiques



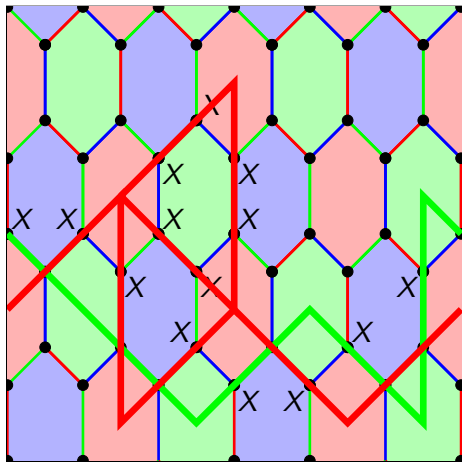
mots quantiques
 $= C \bmod C^\perp$

On voit une ligne de \mathbf{H}_X

C'est une face rouge

FIGURE : Représentation cyclique d'un mot de C

Représentation graphique des mots quantiques



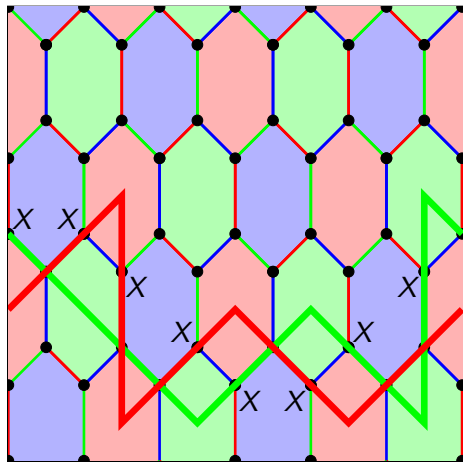
mots quantiques
 $= C \bmod C^\perp$

On voit une ligne de \mathbf{H}_X

C'est une face rouge

FIGURE : Représentation cyclique d'un mot de C

Représentation graphique des mots quantiques



mots quantiques
 $= C \bmod C^\perp$

On voit une ligne de \mathbf{H}_X

C'est une face rouge

FIGURE : Représentation cyclique d'un mot de C

Application des bornes de Gromov

Grâce à cette interprétation graphique :

mot quantique = paire de cycles modulo les faces

- ▶ dans une boule planaire pas de mot quantique $\neq 0$
- ▶ $k = 4g$ (par la dimension du code des cycles)

Avec des pavages G dont les faces sont de longueur inférieure à m
et dont les sommets sont de degré inférieur à m :

Théorème (D. - 2012)

$$kd^2 \leq C(\log k)^2 n,$$

Application des bornes de Gromov

Remarques :

- ▶ Avec Gilles Zémor nous avons construits des codes couleur hyperboliques qui atteignent la borne de Gromov pour R constant
- ▶ Tout complexe de chaîne permet de définir un code quantique

Questions ouvertes :

- ▶ Peut on atteindre $d = O(n^{1/2+\alpha})$ avec des codes LDPC quantiques ?
- ▶ seuil des codes de surfaces ?

Application des bornes de Gromov

Merci de votre attention !